

О ПРОСТРАНСТВЕННОМ ДВИЖЕНИИ ХИМИЧЕСКИ АКТИВНОЙ СРЕДЫ В ОКРЕСТНОСТИ КАУСТИКИ

А. Г. БАГДОЕВ, Г. Г. ОГАНЯН

(Ереван)

В химически активной среде рассматривается пространственная задача определения параметров движения в окрестности каустики — огибающей лучей фронтов волн в приближении геометрической акустики. В зависимости от отношения времени протекания химической реакции к макроскопическому времени различают два предельных процесса распространения возмущений [1]: квазизаморожденный и квазиравновесный. В отсутствие вязкости, теплопроводности и химической реакции задача в линейной постановке рассматривалась в [2-6]. Нелинейные уравнения для произвольной недиссилиптивной среды вблизи каустики выведены в [7-10].

В настоящей работе методом [1] выведены нелинейные уравнения движения среды для обоих видов процессов. Для падающей ступенчатой волны найдено распределение давления в окрестности и на самой каустике. Выявленна роль химической реакции на распределение параметров течения в окрестности каустики. Приведены уравнения для неоднородной первоначально движущейся жидкости вблизи каустики. Для случая специальных сред, в которых предельные скорости звука покоящейся смеси близки друг к другу, в окрестности каустики получено нелинейное уравнение, содержащее старшую производную третьего порядка. Показано, что решение соответствующего линейного уравнения выражается в виде квадратуры от решения для химически инертной среды и содержит осцилляции вблизи фронтов волн.

1. Основные соотношения и порядки характеристик течения. Предположим, что в потоке химически активной  $n$ -компонентной смеси вязких теплопроводных газов происходит только одна реакция типа

$$\sum_{r=1}^n v_r A_r \rightleftharpoons \sum_{r=1}^n v'_r A_r,$$

где слева стоят реагенты, а справа — продукты реакции,  $v_r$ ,  $v'_r$  — стехиометрические коэффициенты,  $A_r$  — символы химических компонент. Система уравнений, описывающая движение химически активной многокомпонентной смеси вязких газов имеет вид [11]

$$(1.1) \quad \frac{d\rho}{dt} + \rho \operatorname{div} \mathbf{V} = 0$$

$$(1.2) \quad \rho \frac{d\mathbf{V}}{dt} = -\nabla p + \left( \frac{1}{3} \lambda_1 + \lambda_2 \right) \nabla (\operatorname{div} \mathbf{V}) + \lambda_1 \Delta \mathbf{V}$$

$$(1.3) \quad \rho \left( T \frac{dS}{dt} + Q \frac{dq}{dt} \right) = \sigma \nabla \mathbf{V} + k \Delta T$$

$$Q = \sum_{r=1}^n \Delta v_r \mu_r, \quad \Delta v_r = v'_r - v_r$$

Здесь  $t$  — время,  $\rho$  — плотность,  $\mathbf{V}$  — вектор скорости частиц смеси,  $p$  — давление,  $T$  — температура,  $S$  — энтропия,  $\lambda_1$  и  $\lambda_2$  — первый и второй

коэффициенты динамической вязкости,  $\sigma$  — тензор вязких напряжений,  $k$  — коэффициент теплопроводности,  $\nabla$  и  $\Delta$  — операторы Гамильтона и Лапласа,  $\mu$ , — химический или термодинамический потенциал. Изменение состава смеси характеризуется параметром  $q$ , называемым полнотой (степенью развития) химической реакции,  $Q$  — сродство химической реакции.

В состоянии полного термодинамического равновесия  $Q=0$ . Допустим [1, 11], что вблизи этого состояния существует аналитическая зависимость между  $q$  и  $Q$

$$(1.4) \quad \frac{dq}{dt} = -\frac{1}{\tau} H_1 Q + \dots$$

Здесь  $\tau$  — время протекания химической реакции, феноменологический коэффициент  $H_1 > 0$  ввиду того, что в необратимых процессах энтропия системы может только увеличиваться.

Для замыкания системы уравнений (1.1)–(1.4) рассмотрим соотношение Гиббса

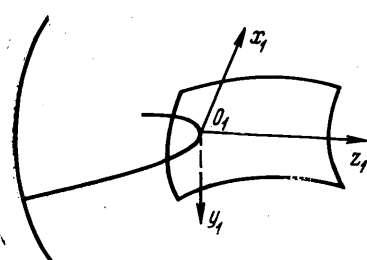
$$de = TdS - pdV + Qdq$$

где  $e$  — удельная внутренняя энергия,  $V = 1/\rho$  — удельный объем. Первые частные производные

$$Q = \left( \frac{\partial e}{\partial q} \right)_{v,s}, \quad -p = \left( \frac{\partial e}{\partial V} \right)_{q,s},$$

$$T = \left( \frac{\partial e}{\partial S} \right)_{v,q}$$

Фиг. 1



представляющие собой уравнения состояния среды, являются тремя недостающими соотношениями между термодинамическими величинами. Рассматриваемую область течения считаем областью коротких волн [1]. Введем систему координат  $(x_1, y_1, z_1)$  с началом в точке  $O_1$ , находящейся в точке касания фиксированного луча с каустической поверхностью и движущейся по каустике вдоль оси  $O_1x_1$  со скоростью  $a_1$ , являющейся линейной скоростью звука на каустике. Ось  $O_1x_1$  направлена вдоль поверхностных лучей на каустике, ось  $O_1y_1$  совпадает с нормалью к каустике, ось  $O_1z_1$  направлена перпендикулярно осям  $O_1x_1$  и  $O_1y_1$  (фиг. 1)

$$(1.5) \quad \begin{aligned} x_1 &= (x - x_0)\alpha_{11} + (y - y_0)\alpha_{12} + (z - z_0)\alpha_{13} \\ y_1 &= (x - x_0)\alpha_{21} + (y - y_0)\alpha_{22} + (z - z_0)\alpha_{23} \\ z_1 &= (x - x_0)\alpha_{31} + (y - y_0)\alpha_{32} + (z - z_0)\alpha_{33} \end{aligned}$$

Здесь  $(x_0, y_0, z_0)$  — координаты центра подвижных координат  $O_1$  в системе неподвижных координат  $(x, y, z)$ ,  $\alpha_{ij}$  ( $i, j = 1, 2, 3$ ) — косинусы углов, образованных подвижными осями координат с неподвижными, обладают свойством ортонормированности. Поскольку лучи касаются каустической поверхности в точке  $O_1$ , то

$$(1.6) \quad \frac{dx_0}{dt} = a_1 \alpha_{11}, \quad \frac{dy_0}{dt} = a_1 \alpha_{21}, \quad \frac{dz_0}{dt} = a_1 \alpha_{31}$$

С учетом (1.6) из (1.5) можно показать, что имеет место преобразование

$$(1.7) \quad \frac{\partial}{\partial t} = \frac{\partial}{\partial t} + \left( \frac{y_1}{R_1} a_1 - a_1 \right) \frac{\partial}{\partial x_1} - a_1 \left( \frac{x_1}{R_1} + z_1 D_{12} \right) \frac{\partial}{\partial y_1} + y_1 a_1 D_{12} \frac{\partial}{\partial z_1}$$

где  $R_1$  — кривизна нормального сечения каустики в направлении луча,  $D_{12}$  — коэффициент второй квадратичной формы каустической поверхности. Аналогичные (1.5) соотношения имеют место для проекций скорости частиц смеси на подвижные оси

$$(1.8) \quad \begin{aligned} u_1 &= u\alpha_{11} + v\alpha_{12} + w\alpha_{13}, & v_1 &= u\alpha_{21} + v\alpha_{22} + w\alpha_{23} \\ w_1 &= u\alpha_{31} + v\alpha_{32} + w\alpha_{33} \end{aligned}$$

В дальнейшем производится сжатие координат  $(x_1, y_1, z_1)$

$$(1.9) \quad x_1 = \varepsilon^{\frac{1}{2}} x'_1, \quad y_1 = \varepsilon y'_1, \quad z_1 = \varepsilon^{\frac{1}{2}} z'_1$$

Все порядки величин выбраны на основании линейного решения [5], причем  $\varepsilon \sim \gamma^{\frac{1}{2}}$  — малый параметр,  $\gamma$  — интенсивность волны вдали от каустики. Преобразования (1.5), (1.8) и (1.9) позволяют рассматривать течение газовой смеси в окрестности каустики.

Предположим, что разность всех параметров возмущенной и невозмущенной смеси мала:

$$(1.10) \quad \begin{aligned} p &= p_0 + \varepsilon p', & \rho &= \rho_0 + \varepsilon \rho', & S &= S_0 + \varepsilon S', & T &= T_0 + \varepsilon T', \\ q &= q_0 + \varepsilon q' \end{aligned}$$

$$Q = \varepsilon Q', \quad a = a_0 + \varepsilon a', \quad u_1 = \varepsilon u'_1, \quad v_1 = \varepsilon^{\frac{1}{2}} v'_1, \quad w_1 = \varepsilon^{\frac{1}{2}} w'_1$$

Здесь и далее параметры в состоянии термодинамического равновесия обозначены нулевым индексом.

В решениях линейной недиссилиптивной задачи, полученных в [2, 12], параметры течения слабо зависят от координаты  $z_1$ , т. е. движение в основном происходит в плоскости  $(x_1, y_1)$ . Поэтому дифференцирование по  $z_1$  не увеличивает порядки параметров и для возмущений можно полагать

$$(1.11) \quad f'(x_1, y_1, z_1, t) = f_1'(x_1, y_1, t) + z_1 f_2'(x_1, y_1, t)$$

Между невозмущенной (линейной) скоростью  $a_0$  и скоростью звука  $a_1$  на каустике существует связь [4, 8]

$$(1.12) \quad a_0 = a_1 - a_1 K_2 y_1, \quad K_2 = 1/R_2$$

где  $K_2$  — проекция вектора кривизны луча на нормаль к каустике.

В дальнейшем штрихи над всеми возмущенными величинами опускаются и при выводе приближенных уравнений во всех получающихся соотношениях будутдержаны лишь главные члены.

**2. Квазивновесный процесс.** За независимые термодинамические переменные принимаются  $p$ ,  $\rho$ ,  $Q$ . Аналогично [1] для давления  $p$  можно написать

$$\frac{dp}{dt} - a_e^2 \frac{d\rho}{dt} = \left( \frac{\partial p}{\partial S} \right)_{\rho, Q} \frac{dS}{dt} + \left( \frac{\partial p}{\partial Q} \right)_{\rho, S} \frac{dQ}{dt}, \quad a_e = \left( \frac{\partial p}{\partial \rho} \right)_{Q, S}^{\frac{1}{2}}$$

где  $a_e$  — равновесная скорость звука. Комбинируя данное соотношение с уравнениями (1.1), (1.3), можно получить

$$(2.1) \quad \begin{aligned} \frac{\partial p}{\partial t} + u \frac{\partial p}{\partial x} + v \frac{\partial p}{\partial y} + w \frac{\partial p}{\partial z} + \rho a_e^2 \operatorname{div} \mathbf{V} &= L_{1e} + L_{2e} \\ L_{1e} &= \frac{1}{\rho T} \left( \frac{\partial p}{\partial S} \right)_{\rho, Q} (k \Delta T + \sigma \nabla \cdot \mathbf{V}) \\ L_{2e} &= \left( \frac{\partial p}{\partial Q} \right)_{\rho, S} \frac{dQ}{dt} - \left( \frac{\partial p}{\partial S} \right)_{\rho, Q} \frac{Q}{T} \frac{dq}{dt} \end{aligned}$$

Приращение температуры представим в виде:

$$(2.2) \quad dT = \left( \frac{\partial T}{\partial p} \right)_{\rho, Q} \left[ dp - \frac{1}{\kappa_e} a_e^2 d\rho - \left( \frac{\partial p}{\partial Q} \right)_{\rho, T} dQ \right], \quad \kappa_e = \frac{C_p^\circ}{C_v^\circ}$$

где  $C_p^\circ$  — удельная теплоемкость при постоянном давлении и сродстве,  $C_v^\circ$  — удельная теплоемкость при постоянном объеме и сродстве.

Пусть  $a_0 = a_{e0}$ , т. е. слабая ударная волна с узкой возмущенной зоной движется с равновесной скоростью звука в покоящейся смеси. Примем

$$(2.3) \quad a_e = a_{e0} + \varepsilon a_e'$$

Преобразуя посредством (1.5), (1.7)–(1.12) уравнения (1.1) и (1.2), записанные в проекции на ось  $Ox$ , учитывая соотношения (1.12) и (2.3), а также свойство ортонормированности косинусов, получим

$$(2.4) \quad \rho = p/a_{e1}^2 = \rho_0 u_1 / a_{e1}$$

Аналогичные преобразования над уравнением (1.2), записанным в проекции на ось  $Oy$ , и учет второго равенства из (2.4) дают

$$(2.5) \quad \partial u_1 / \partial y_1 = \partial v_1 / \partial x_1$$

т. е. в окрестности пересечения ударной волны с каустикой движение смеси потенциальное. Преобразуя уравнения (1.3) и (1.2), записанные в проекции на ось  $Oz$ , и удерживая главные члены, соответственно имеем

$$(2.6) \quad S = 0, \quad \partial p / \partial z_1 = 0$$

или, сравнивая второе соотношение с (2.4) и (2.5), приходим к выводу, что в рассматриваемом приближении движение действительно происходит в плоскости  $(x_1, y_1)$ .

Если разложить  $p = p(\rho, Q, S)$  в ряд Тейлора вблизи положения равновесия и учесть (1.10), то получим

$$p = a_{e0}^2 \rho + \left( \frac{\partial p}{\partial Q} \right)_{\rho, S} Q + \left( \frac{\partial p}{\partial S} \right)_{\rho, Q} S$$

Имея в виду (1.12) и сравнивая полученное соотношение с (2.4), получим

$$(2.7) \quad Q = 0, \quad S = 0$$

т. е. в принятом приближении сжатие газа происходит обратимо при постоянном сродстве химической реакции.

Преобразование посредством (1.5), (1.7)–(1.12) уравнения (1.4) в основном порядке даст

$$(2.8) \quad \frac{\partial q}{\partial x_1} = \varepsilon^{\eta} \frac{H_{10}}{\tau a_{e1}} Q$$

Из (2.7) видно, что возмущенные энтропия и сродство — малые, более высокого порядка, чем остальные возмущенные параметры. Более точная оценка показывает, что  $S \sim \varepsilon^{\eta}$ ,  $Q \sim \varepsilon^{\eta}$ . Тогда из (2.8) следует, что  $\tau \sim \varepsilon^3$ . Если ввести характерную длину  $L \sim \varepsilon$  в области коротких волн, означающую, например, ширину прифронтовой зоны, то последнее условие означает, что время протекания химической реакции  $\tau$  много меньше макроскопического времени  $L/a_{e1}$ , представляющего собой время пробега частицы смеси в области коротких волн.

Линеаризуя посредством (1.10) соотношение (2.2) и имея в виду (2.4) и (2.7), получим

$$(2.9) \quad dT = \left( \frac{qT}{\partial p_0} \right)_{\rho, Q} \left( 1 - \frac{1}{\kappa_e} \right) \rho_0 a_{e1} du_1$$

При разложении  $a_e = a_e(\rho, Q, S)$  в ряд Тейлора вблизи положения термодинамического равновесия с учетом (2.7) находим

$$(2.10) \quad a_e = (\alpha_e^0 - 1) u_1, \quad \alpha_e^0 = \frac{1}{a_{e0}} \left[ \frac{\partial}{\partial \rho_0} (\rho a_e) \right]_{Q, S}$$

Преобразуя посредством (1.5), (1.7)–(1.11) уравнение (2.1), учитывая соотношения (2.4)–(2.10) и затем переходя к переменным без штрихов, получим в порядке ε

$$(2.11) \quad 2 \frac{\partial u_2}{\partial t} + 2 \left[ \left( \frac{y_1}{R_1} - \frac{y_1}{R_2} \right) a_{e1} + \frac{\alpha_e^0}{\sqrt{\rho_0 a_{e1}}} u_2 \right] \frac{\partial u_2}{\partial x_1} + a_{e1} \frac{\partial v_2}{\partial y_1} = \\ = \left[ \frac{1}{\rho_0} \left( \frac{4}{3} \lambda_1 + \lambda_2 \right) + \frac{k}{\rho_0 T_0} \left( \frac{\partial T}{\partial S_0} \right)_{\rho, Q} \left( 1 - \frac{1}{\kappa_e} \right) - \right. \\ \left. - \frac{\tau}{H_{10}} \left( \frac{\partial p}{\partial Q_0} \right)_{\rho, S} \left( \frac{\partial q}{\partial \rho_0} \right)_{Q, S} \right] \frac{\partial^2 u_2}{\partial x_1^2} \\ u_2 = \sqrt{\rho_0 a_{e1}} u_1, \quad v_2 = \sqrt{\rho_0 a_{e1}} v_1$$

Уравнение (2.11) совместно с (2.5) описывает течение смеси газа в окрестности каустики. Видно, что учет влияния химической реакции приводит к увеличению величины диссипативного коэффициента. Действительно

$$(2.12) \quad \left( \frac{\partial p}{\partial Q_0} \right)_{\rho, S} \left( \frac{\partial q}{\partial \rho_0} \right)_{Q, S} = - \left( \frac{\partial q}{\partial Q_0} \right)_{\rho, S} (a_{f0}^2 - a_{e0}^2), \quad a_{f0} = \left( \frac{\partial p}{\partial \rho_0} \right)_{Q, S}^{1/2}$$

$a_{f0}$  – замороженная скорость звука в состоянии равновесия. Можно показать [11], что  $a_{f0} > a_{e0}$ , поэтому соотношение (2.12) существенно отрицательно. С учетом вышесказанного выражение в квадратной скобке справа в (2.11) обозначим через δ и введем потенциал скорости φ( $x_1, y_1, t$ ). Тогда уравнение (2.11) запишется в виде

$$(2.13) \quad \frac{\partial^2 \Phi}{\partial x_1 \partial t} + \left( \frac{y_1}{R} a_{e1} + \frac{\alpha_e^0}{\sqrt{\rho_0 a_{e1}}} \frac{\partial \Phi}{\partial x_1} \right) \frac{\partial^2 \Phi}{\partial x_1^2} + \frac{a_{e1}}{2} \frac{\partial^2 \Phi}{\partial y_1^2} - \frac{\delta}{2} \frac{\partial^3 \Phi}{\partial x_1^3} = 0$$

где  $1/R = 1/R_1 - 1/R_2$  – разность между кривизной нормального сечения каустики в направлении луча и проекцией вектора кривизны луча на нормаль к каустике в точке соприкосновения.

а) Пусть нелинейный и диссипативный эффекты пренебрежимо малы по сравнению с линейным. Тогда в уравнении (2.13) следует отбросить второе слагаемое в скобке и полагать δ=0. Такому же уравнению в основном порядке будет удовлетворять и давление  $p$ , причем компоненты нормальной и касательной составляющих скорости к фронту слабой ударной волны равны

$$u_1 = \frac{1}{\sqrt{\rho_0 a_{e1}}} \frac{\partial \Phi}{\partial x_1} = \frac{p}{\rho_0 a_{e1}} \quad v_1 = \frac{1}{\sqrt{\rho_0 a_{e1}}} \frac{\partial \Phi}{\partial y_1}$$

Решение линейной задачи в случае неоднородной среды получено в [2], где для давления  $p$  на скачкообразной падающей волне найдено

$$(2.14) \quad \frac{p}{A_1} (-y_1)^{\frac{1}{4}} = \begin{cases} P_{-\frac{1}{4}, 0} \left( \frac{x_1}{\alpha_1} \right) & (x_1 > \alpha_1) \\ 2P_{-\frac{1}{4}, 0} \left( \frac{x_1}{\alpha_1} \right) & (-\alpha_1 < x_1 < \alpha_1) \\ \sqrt{3} P_{-\frac{1}{4}, 0} \left( -\frac{x_1}{\alpha_1} \right) + \frac{2}{\pi} Q_{-\frac{1}{4}, 0} \left( -\frac{x_1}{\alpha_1} \right) & (x_1 < -\alpha_1) \end{cases}$$

Здесь  $P_{-\frac{1}{4}, 0}$ ,  $Q_{-\frac{1}{4}, 0}$  — функции Лежандра,  $p_* = A_1(-y_1)^{-\frac{1}{4}}$  — лучевое решение вдали от каустики,  $\alpha_1 = \sqrt[2]{3}(2/R)^{\frac{1}{2}}(-y_1)^{\frac{1}{2}}$ .

б) Пусть в уравнении (2.13) пренебрежимо мал только нелинейный член, т. е. второе слагаемое в скобке в (2.13) можно отбросить. Тогда, применяя к получаемому линейному уравнению двустороннее преобразование Лапласа по  $x_1$ , решение для неоднородной диссипативной среды вблизи каустики можно получить в виде

$$(2.15) \quad \varphi = \int_{-\infty}^{\infty} \varphi_1(x_1 - \xi, y_1, t) \frac{1}{\sqrt{2\pi}\delta_1} \exp\left(-\frac{\xi^2}{2\delta_1}\right) d\xi, \quad \delta_1 = \int_0^t \delta dt$$

где  $\varphi_1(x_1, y_1, t)$  — решение линейной недиссипативной задачи, получаемое из (2.14). Легко видеть, что решение (2.15) переходит вдали от каустической поверхности в линейное решение для идеальной жидкости.

Отметим, что линейное диссипативное решение вблизи каустики можно получить также методом эталонных решений [3, 4], однако вычисления показывают, что примененный нами метод коротких волн более эффективный.

Заметим также, что для неоднородной движущейся среды лучевое решение имеет вид [13, 14]

$$u = \Phi = \text{const} \left( \rho_0 u_n^2 \frac{1}{a_0} \Sigma \right)^{-\frac{1}{2}}$$

где  $u_n = a_0 + V_n$  — нормальная составляющая скорости волны,  $\Sigma$  — площадь фронта волны внутри выбранной лучевой трубы.

Для  $V_n = 0$ , т. е. для уравнения (2.13), имеет место

$$\frac{\partial}{\partial t} (\ln \Sigma) = a_0 K$$

где  $K$  — полная кривизна фронта волны. Тогда видно, что уравнения (2.11) и (2.13) из всего лучевого решения содержат лишь множитель  $(\rho_0 a_0)^{-\frac{1}{2}}$ , т. е. первое слагаемое в скобке в указанных уравнениях как бы заменяет выражение [13]

$$-\frac{\partial \varphi}{\partial x_1} \frac{\partial}{\partial t} (\ln \sqrt{\Sigma})$$

В более общем случае для первоначально движущейся со скоростью  $\mathbf{V}$  жидкости, обозначая значения  $\mathbf{V}$  в точке  $O_1$  через  $\mathbf{V}_0(t)$ , записывая систему (1.1)–(1.4) в системе координат  $(x_1, y_1, z_1)$ , движущейся со скоростью  $\mathbf{V}_0$ , и повторяя предыдущие выкладки, можно показать, что снова имеет место уравнение (2.13), только

$$u_1 = \Phi \sqrt{\Sigma} \frac{\partial \varphi}{\partial x_1}, \quad K = \frac{\partial}{u_n \partial \tau_*} \ln \Sigma$$

где  $\tau_*$  — время пробега волны до данной точки.

Для давления  $p$  также имеет место свертка (2.15), где за  $p_1(x_1, y_1, t)$  следует принять решение (2.14). Таким образом,

$$(2.16) \quad \frac{p}{A_1} (-y_1)^{\nu_1} (2\pi\delta_1)^{\nu_2} = \int_{-\infty}^{x_1-\alpha_1} P_{-\nu_1, 0} \left( \frac{x_1-\xi}{\alpha_1} \right) \exp \left( -\frac{\xi^2}{2\delta_1} \right) d\xi + \\ + 2 \int_{x_1-\alpha_1}^{x_1+\alpha_1} P_{-\nu_1, 0} \left( \frac{x_1-\xi}{\alpha_1} \right) \exp \left( -\frac{\xi^2}{2\delta_1} \right) d\xi + \\ + \int_{x_1+\alpha_1}^0 \left[ \sqrt{3} P_{-\nu_1, 0} \left( -\frac{\xi-x_1}{\alpha_1} \right) + \frac{2}{\pi} Q_{-\nu_1, 0} \left( -\frac{\xi-x_1}{\alpha_1} \right) \right] \exp \left( -\frac{\xi^2}{2\delta_1} \right) d\xi$$

Для определения значения  $p$  при  $y_1 < 0$  необходимо разложить  $P_{-\nu_1, 0}(z)$  и  $Q_{-\nu_1, 0}(z)$  в ряды по степеням  $1/z$  и вычислить квадратуры в (2.16). Не выписывая громоздкого решения в окрестности каустики ( $y_1 < 0$ ), напишем окончательное решение на самой каустике ( $y_1 = \alpha_1 = 0$ ):

$$(2.17) \quad p = A_1 (R\delta_1)^{-1/\nu_2} \cdot 0.5319 \exp \left( -\frac{x_1^2}{4\delta_1} \right) \left[ D_{-\nu_1, 0} \left( -\frac{x_1}{\sqrt{3}\delta_1} \right) + \sqrt{3} D_{-\nu_1, 0} \left( \frac{x_1}{\sqrt{3}\delta_1} \right) \right]$$

где  $D_{-\nu_1, 0}(z)$  — функции параболического цилиндра.

В точке  $O_1$  ( $x_1 = y_1 = 0$ ) полученное решение еще более упростится и запишется в виде  $p = 1.82 A_1 (R\delta_1)^{-1/\nu_2}$ . Решение для чисто линейной задачи на самой каустике ( $y_1 = 0$ ) и в точке  $O_1$  ( $x_1 = y_1 = 0$ ) имеет особенность. Из полученных решений видно, что, хотя учет диссипативных эффектов и устраняет особенность, наличие каустики понижает порядок малости решения по сравнению с решением вдали от нее, причем учет химической реакции приводит к уменьшению фокусирования, так как при этом  $\delta_1$  увеличивается.

Изучая асимптотику решения (2.17), можно получить, что на каустике для  $|x_1| \gg 1$  решение затухает по закону  $|x_1|^{-1/\nu_2}$ , т. е. как и в решении для идеальной задачи. Численные расчеты показывают, что влияние химической реакции наиболее существенно сказывается в окрестности точки  $O_1$  — начала подвижной системы координат, или, что то же самое, в точке пересечения падающей ступенчатой волны с каустической поверхностью.

**3. Квазизамороженный процесс.** Примем за независимые термодинамические переменные давление  $p$ , плотность  $\rho$  и полноту химической реакции  $q$ . Аналогично выводу (2.1) можно получить

$$(3.1) \quad \frac{\partial p}{\partial t} + u \frac{\partial p}{\partial x} + v \frac{\partial p}{\partial y} + w \frac{\partial p}{\partial z} + \rho a_f^2 \operatorname{div} V = L_{1f} + L_{2f} \\ a_f = \left( \frac{\partial p}{\partial \rho} \right)_{q, s}^{\nu_2}, \quad L_{1f} = \left( \frac{\partial p}{\partial S} \right)_{\rho, q} \left( \frac{\partial S}{\partial p} \right)_{\rho, q} L_{1e} \\ L_{2f} = \left[ \left( \frac{\partial p}{\partial q} \right)_{\rho, s} - \frac{Q}{T} \left( \frac{\partial p}{\partial S} \right)_{\rho, q} \right] \frac{dq}{dt}$$

Предположим, что  $a_0 = a_{f0}$ , т. е. слабая ударная волна распространяется с замороженной скоростью звука в покоящейся среде. Примем  $a_f = a_{f0} + \epsilon a'_f$ , причем связь между  $a_{f0}$  и замороженной скоростью звука на каустике  $a_{f1}$  задается в виде (1.12).

Подобно п. 2 можно получить соотношение (2.4) – (2.6) и (2.8) с заменой  $a_{e1}$  на  $a_{f1}$ , а также условие потенциальности течения в окрестности каустики. Можно показать, что  $S=q=0$ , т. е. возмущенные энтропия и полнота химической реакции являются величинами более высокого порядка малости, чем остальные возмущенные параметры ( $S \sim q \sim \varepsilon^{\frac{1}{2}}$ ), откуда следует, что в рассматриваемом приближении сжатие газа происходит обратимо при постоянной полноте химической реакции. Тогда из (2.8) следует, что  $\tau \sim \varepsilon^0 = 1$ , т. е. время протекания химической реакции много больше макроскопического времени  $L/a_{f0}$ .

В принятом приближении [1]

$$(3.2) \quad Q = \left( \frac{\partial Q}{\partial \rho_0} \right)_{q,s} \frac{\rho_0}{a_{f1}} u_1, \quad a_f = (\alpha_f^{\circ} - 1) u_1, \quad \alpha_f^{\circ} = \frac{1}{a_{f0}} \left[ \frac{\partial}{\partial \rho_0} (\rho a_f) \right]_{q,s}$$

Имея в виду соотношения (2.4) и (3.2), применяя преобразования (1.5), (1.7) – (1.11) к уравнению (3.1) и переходя к новым функциям  $u_1^* = \sqrt{\rho_0 a_{f1}} e^{-\frac{1}{2}\eta t} u_1$ ,  $v_1^* = \sqrt{\rho_0 a_{f1}} e^{-\frac{1}{2}\eta t} v_1$ ,  $V^* = \{u_1^*, v_1^*\}$  приведем (3.1) в порядке  $\varepsilon$  к виду

$$(3.3) \quad \begin{aligned} \frac{\partial u_1}{\partial t} + \left( \frac{y_1}{R} a_{f1} + \frac{\alpha_1^{\circ}}{\sqrt{\rho_0 a_{f1}}} e^{-\frac{1}{2}\eta t} u_1^* \right) \frac{\partial u_1^*}{\partial x_1} + \frac{a_{f1}}{2} \frac{\partial v_1^*}{\partial y_1} &= \frac{\delta_2}{2} \frac{\partial^2 u_1^*}{\partial x_1^2} \\ \gamma &= \frac{H_{10}}{\tau} \left( \frac{\partial Q}{\partial q} \right)_{p,S} \left( 1 - \frac{a_{e1}^2}{a_{f1}^2} \right), \\ \delta_2 &= \frac{1}{\rho_0} \left( \frac{4}{3} \lambda_1 + \lambda_2 \right) + \frac{k}{\rho_0 T_0} \left( \frac{\partial T}{\partial S_0} \right)_{p,q} \left( 1 - \frac{1}{\kappa_f} \right) \end{aligned}$$

Уравнение (3.3) совместно с условием потенциальности течения (2.5) описывает течение газовой смеси в окрестности каустики. Если обозначить  $V^* = \nabla \varphi^*$ , то получаемое уравнение относительно  $\varphi^*$  без учета нелинейного члена совпадает с (2.13) с заменой  $a_{e1}$  на  $a_{f1}$  и  $\delta$  на  $\delta_2$ . Поэтому решение вида (2.17) на самой каустике применимо и в рассматриваемом процессе. Напомним, что  $\varphi^*$  связано с  $\varphi$  в (2.13) соотношением

$$\varphi^*(x_1, y_1, t) = e^{-\frac{1}{2}\eta t} \varphi(x_1, y_1, t)$$

т. е. скорость частиц смеси при квазизамороженном процессе распространения возмущений убывает с течением времени по экспоненциальному закону по сравнению с квазиравновесным процессом.

**4. Среды, в которых скорости звука близки.** Аналогично [1, 11] можно найти связь между равновесной и замороженной скоростями звука

$$a_f^2 - a_e^2 = \frac{1}{\rho^2} \frac{e_{12}^2}{e_{11}} \geq 0, \quad e_{12} = \left( \frac{\partial^2 e}{\partial V \partial q} \right)_S, \quad e_{11} = \left( \frac{\partial^2 e}{\partial q^2} \right)_{V,S}$$

Знак неравенства исходит из условия термодинамической устойчивости системы. Видно, что  $a_e$  может достичь значения  $a_f$  только при  $e_{12}=0$ .

Предположим, что значения скоростей  $a_e$  и  $a_f$  в покоящейся среде, представляющей собой состояние полного термодинамического равновесия, близки. Тогда величина  $e_{12}=e_{120}$  в покоящейся смеси мала. Положим  $e_{120}=e_a e_{120}'$ . Здесь и далее параметры в покоящейся смеси обозначены, как и прежде, нулевыми индексами,  $e_a$  – новый малый параметр порядка  $\varepsilon^{\frac{1}{2}}$ . При квазиравновесном и квазизамороженном процессах распространения возмущений время протекания химической реакции  $\tau$  имело соответственно порядки  $\varepsilon^3$  и 1. Если же рассматривать процесс, в котором  $\tau \sim \varepsilon^{\frac{1}{2}}$ , то необходимо в (1.10) сделать замену  $q' \rightarrow e_a q'$ ,  $Q' \rightarrow e_a Q'$ .

Как и в пп. 2, 3, при упрощении уравнений будут удержаны лишь главные члены. Так как невозмущенная скорость  $a_0$  не совпадает со скоростями  $a_{e0}$  и  $a_{f0}$ , значение

ния которых близки, то положим

$$(4.1) \quad a_0 - a_{f1} = \varepsilon_a^2 a_0 \sigma_{f1}, \quad a_0 - a_{e1} = \varepsilon_a^2 a_0 \sigma_{e1}$$

Разлагая  $p=p(\rho, q, S)$  и  $p=p(\rho, Q, S)$  в ряд Тейлора в порядке  $\varepsilon_a^2 \varepsilon$ , получаем соотношения, комбинация которых с (4.1) дает

$$\sigma_{e1} = \sigma_{f1} + \frac{e_{120}^2}{2\rho_0 a_0^2 e_{110}}$$

Как и прежде, снова выполняются соотношения коротких волн (2.4) с заменой  $a_{e1}$  на  $a_1$ . В принятом приближении  $Q=(e_{110}q-\rho_0^{-2}e_{120}\rho)$ . Комбинируя полученное соотношение с (2.8) и (2.4), находим

$$(4.2) \quad \frac{\partial q}{\partial x_1} = \frac{H_{10}}{\tau} \left( \frac{e_{110}}{a_0} q - \frac{e_{120}}{\rho_0 a_0^2} u_1 \right)$$

Преобразуя посредством (1.5), (1.7)–(1.11) и учитывая соотношения (1.12), (2.4), уравнение (3.1) в порядке  $\varepsilon$  приведем к виду

$$(4.3) \quad 2 \frac{\partial u_1}{\partial t} + u_1 \frac{\partial}{\partial t} \ln(\rho_0 a_1) + 2 \left( \frac{y_1}{R} a_1 - \varepsilon_a^2 a_1 \sigma_{f1} + \alpha_f^\circ u_1 \right) \frac{\partial u_1}{\partial x_1} + a_1 \frac{\partial v_1}{\partial y_1} = \\ = \frac{1}{\rho_0} \left( \frac{4}{3} \lambda_1 + \lambda_2 \right) \frac{\partial^2 u_1}{\partial x_1^2} + \frac{k}{T_0 \rho_0^2 a_1} \left( \frac{\partial p}{\partial S_0} \right)_{\rho, q} \frac{\partial^2 T}{\partial x_1^2} - \varepsilon_a \frac{1}{\rho_0} \left( \frac{\partial p}{\partial q_0} \right)_{\rho, S} \frac{\partial q}{\partial x_1}$$

Аналогичное упрощение уравнения (2.1) приводит его к виду, который, как легко показать [10], совпадает с (4.3).

Зашлем уравнение (4.3) через возмущение скорости  $u_1$  и с помощью (4.2) исключим из получаемого уравнения параметр  $q'$ . Далее, переходя от  $u_1$ ,  $v_1$  к новым функциям  $u_2$ ,  $v_2$ , аналогичным п. 2, и вводя согласно (2.5) потенциал скорости  $\Phi(x_1, y_1, t)$ , получим относительно  $\Phi$  уравнение, описывающее течение газовой смеси в окрестности каустики для случая специальных сред:

$$(4.4) \quad 2 \frac{\partial^2 \Phi}{\partial x_1 \partial t} + 2 \left( \frac{y_1}{R} a_1 - \varepsilon_a^2 a_1 \sigma_{e1} + \frac{\alpha_f^\circ}{\sqrt{\rho_0 a_1}} \frac{\partial \Phi}{\partial x_1} \right) \frac{\partial^2 \Phi}{\partial x_1^2} + a_1 \frac{\partial^2 \Phi}{\partial y_1^2} - \\ - (\beta + \delta_2) \frac{\partial^3 \Phi}{\partial x_1^3} + l \delta_2 \frac{\partial^4 \Phi}{\partial x_1^4} = l \frac{\partial}{\partial x_1} \left[ 2 \frac{\partial^2 \Phi}{\partial x_1 \partial t} + \right. \\ \left. + 2 \left( \frac{y_1}{R} a_1 - \varepsilon_a^2 a_1 \sigma_{e1} + \frac{\alpha_f^\circ}{\sqrt{\rho_0 a_1}} \frac{\partial \Phi}{\partial x_1} \right) \frac{\partial^2 \Phi}{\partial x_1^2} + a_1 \frac{\partial^2 \Phi}{\partial y_1^2} \right] \\ l = \frac{\tau a_1}{H_{10} e_{110}} = \frac{\tau}{H_{10}} \left( \frac{\partial q}{\partial Q_0} \right)_{\rho, S} a_1, \quad \beta = \frac{\tau e_{120}^2}{H_{10} \rho_0^2 e_{110}^2} = \frac{\tau}{H_{10}} \left( \frac{\partial q}{\partial Q_0} \right)_{\rho, S} (a_{f1}^2 - a_{e1}^2)$$

Здесь коэффициент  $\delta_2$  тот же, что и в п. 3. Аналогично [1] можно показать, что в предельных случаях (4.4) переходит в уравнения (2.13) и (3.3).

Пусть нелинейный член пренебрежимо мал по сравнению с остальными. В этом случае, применяя к получаемому из (4.4) линейному уравнению преобразование Фурье по  $x_1$ , находим

$$(4.5) \quad \Phi = \Phi_1 \exp[f(\omega)t] \\ f(\omega) = i\omega \varepsilon_a^2 a_1 \sigma_{e1} - \frac{(\beta + \delta_2) \omega^2 - i\omega^3 l \delta_2}{2(1 - i\omega l)}$$

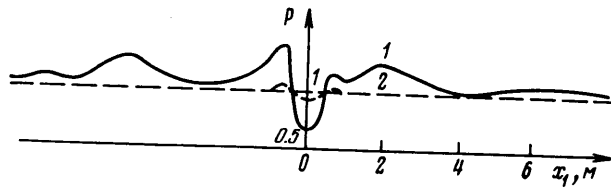
где  $\omega$  – параметр преобразования Фурье,  $\Phi_1$  – решение чисто линейного уравнения. Применяя обратное преобразование Фурье к (4.5), находим

$$(4.6) \quad \Phi(x_1, y_1, t) = \frac{1}{2\pi} \int_{-\infty}^{\infty} \Phi_1(\omega, y_1, t) e^{i(\omega)t} e^{i\omega x_1} d\omega$$

Для давления  $p$  также имеет место формула (4.6), в которой за  $p_1$  следует брать функцию [2, 5]

$$p_1 = 2A_1 \frac{(\pm i\omega)^{1/6}}{-i\omega} \left( \frac{2}{R} \right)^{1/12} e^{\mp 1/4 i \pi} \text{Ai}(\eta)$$

где верхний знак соответствует положительным  $\omega$ ,  $\text{Ai}(\eta)$  – функция Эйри,  $\eta = (2/R)^{1/6}(\omega/a_1)^{2/3}(-y_1)$ .



Фиг. 2

Найдем распределение давления на самой каустике ( $y_1=0$ ). Подставляя значение  $p_1$  в (4.6) и преобразуя контурные интегралы, получим

$$(4.7) \quad p = B \int_0^\infty e^{-\psi(\omega^2)t} \omega^{-5/6} \cos \left( \xi + \frac{\pi}{4} \right) d\omega$$

$$\begin{aligned} \xi &= (x_1 + \varepsilon_a^2 a_1 \sigma_{e1} t) \omega - \frac{\beta l t}{2(1+l^2\omega^2)} \omega^3 \\ B &= \frac{1}{\pi \sqrt{\pi}} A_1 \left( \frac{2}{R} \right)^{1/12} \left( \frac{1}{3} \right)^{1/6} \Gamma \left( \frac{1}{3} \right) \\ \psi(\omega^2) &= \frac{(\beta + \delta_2) \omega^2 + l^2 \delta_2 \omega^4}{2(1+l^2\omega^2)} \end{aligned}$$

Легко показать, что полученное решение в пределе переходит в (2.17). Решение (4.7) было численно проинтегрировано при следующих значениях параметров:  $t=1$  сек,  $\beta=\delta_2=10^{-5}$ ,  $l=10^{-3}$ ,  $a_1=220$ . На фиг. 2 линией 1 показаны изменения отношения  $p=p/p_*$  в зависимости от расстояния  $x_1$  на каустике. Линией 2 представлен график  $p/p_*$ , где  $p$  вычислено уже по формуле (2.17), а  $p_*$  – давление, вычисленное без учета химической реакции. Видно, что учет дисперсионных эффектов существенно меняет картину распределения давления на каустической поверхности.

Институт механики АН АрмССР

Поступила 20 VII 1976

#### ЛИТЕРАТУРА

- Рыжов О. С. О нелинейной акустике химически активных сред. ПММ, 1971, т. 35, вып. 6.
- Газарян Ю. Л. О распространении звука в неоднородных средах. В сб. «Вопросы динамической теории распространения сейсмических волн», № 5, Л., ЛГУ, 1961.
- Кравцов Ю. А. Об одной модификации метода геометрической оптики. Изв. вузов, Радиофизика, 1964, т. 7, № 4.
- Ludwig D. Uniform asymptotic expansions at a caustic. Commun. on Pure and Appl. Math., 1966, vol. 19, No. 2.
- Бабич В. М. Аналитический характер поля нестационарной волны в окрестности каустики. В сб. «Вопросы динамической теории распространения сейсмических волн», № 5, Л., ЛГУ, 1961.
- Багдоев А. Г., Оганян Г. Г. Определение параметров газа вблизи каустики. Докл. АН АрмССР, 1969, т. 49, № 2.
- Guiraud J. P. Le acoustique géométrique et la focalisation. Comptes Rendus Acad. Sci., 1965, vol. 260, No. 6.
- Багдоев А. Г. Некоторые нелинейные задачи о движении сжимаемой жидкости. Ереван, Изд. АН АрмССР, 1967.

9. *Багдоев А. Г.* Определение нелинейного решения вблизи каустики. 3-й Всес. съезд по теор. и прикл. механ., 1968 (Аннот. докл.) М., 1968.
  10. *Hayes W. D.* Similarity rules for nonlinear acoustic propagation through a caustic. Second Conf. on Sonic Boom Res., Washington, 1968, Washington, NASA, 1968.
  11. *Де Гроот С., Мазур П.* Неравновесная термодинамика. М., «Мир», 1964.
  12. *Бабич В. М., Булдырев В. С.* Асимптотические методы в задачах дифракции коротких волн. М., «Наука», 1972.
  13. *Рыжов О. С., Шефтер Г. М.* Об энергии звуковых волн, распространяющихся в движущихся средах. ПММ, 1962, т. 26, вып. 5.
  14. *Bretherton F. P., Garret C. R.* Wave-trains in inhomogenous moving media. Proc. Roy. Soc., 1968, A 302.
-